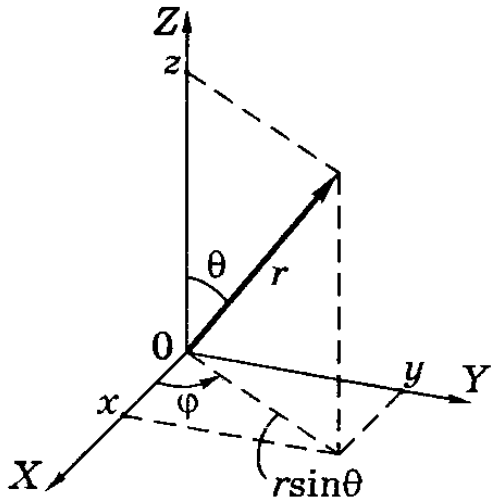
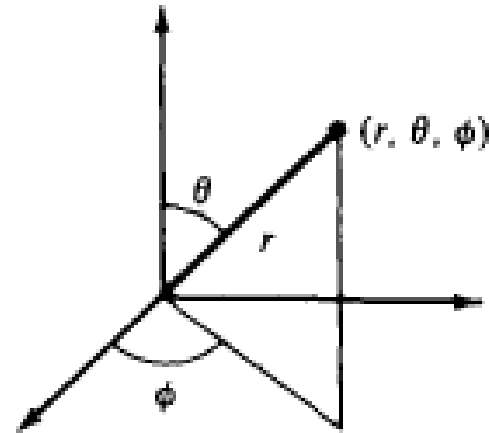


Сферические координаты



Сферические
координаты



$$H(r, \theta, \phi, p_r, p_\theta, p_\phi)$$

$$= \frac{1}{2m} \left[p_r^2 + \frac{1}{r^2} \left(p_\theta^2 + \frac{p_\phi^2}{\sin^2 \theta} \right) \right]$$

$$= \frac{1}{2m} \left(p_r^2 + \frac{L^2}{r^2} \right)$$

$$p_r = m\dot{r}$$

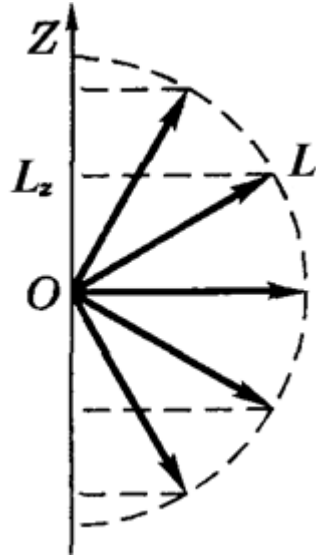
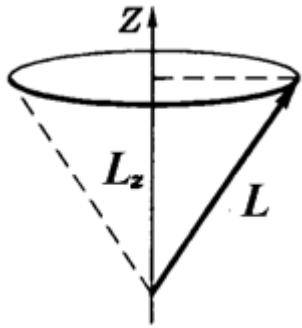
$$p_\theta = mr^2 \dot{\theta}$$

$$p_\phi = mr^2 \dot{\phi} \sin^2 \theta$$

$$\phi$$

$$p_\phi = L_z$$

Квантование момента импульса



$$[L^2, L_z] = 0$$

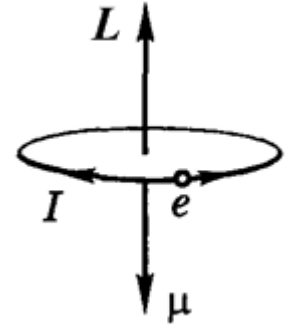
$$[L_x, L_y] = i\hbar L_z$$

$$[L_z, L_x] = i\hbar L_y$$

$$[L_y, L_z] = i\hbar L_x$$

Совместны
 L^2 и L_z

$$\mathbf{L} = \mathbf{r} \times \mathbf{p} = \begin{vmatrix} \mathbf{e}_x & \mathbf{e}_y & \mathbf{e}_z \\ x & y & z \\ p_x & p_y & p_z \end{vmatrix}$$



В центральном поле
 L сохраняется

$$\frac{d\mathbf{L}}{dt} = \mathbf{r} \times \mathbf{F} = 0$$

Собственные значения и
собственные функции L^2

$$\hat{L}^2 \psi = L^2 \psi$$

$$L^2 = l(l+1) \hbar^2, \quad l = 0, 1, 2, \dots$$

$$L = \hbar \sqrt{l(l+1)} \quad \psi = Y(\theta, \varphi) \quad \text{Сферические функции}$$

Вращательное движение

$$\hat{L}_z = -i\hbar \frac{\partial}{\partial \varphi}$$

$$x \rightarrow \varphi$$

$$p_x \rightarrow L_z$$

$$e^{i \frac{p_x}{\hbar} x} \rightarrow e^{i \frac{L_z}{\hbar} \varphi}$$

Собственные значения и
собственные функции L_z

$$\psi = A e^{im\varphi} = \frac{1}{\sqrt{2\pi}} e^{i \frac{L_z}{\hbar} \varphi}$$

$$-i\hbar \frac{\partial}{\partial \varphi} \psi = L_z \psi$$

$$\psi(\varphi + 2\pi) = \psi(\varphi)$$

$$L_z = m\hbar, \quad m = 0, \pm 1, \pm 2, \dots$$

Сферические функции

$$\hat{L}^2 = -\hbar^2 \Delta_{\theta\varphi} = -\hbar^2 \left(\frac{1}{\sin \theta} \frac{\partial}{\partial \theta} \left(\sin \theta \frac{\partial}{\partial \theta} \right) + \frac{1}{\sin^2 \theta} \frac{\partial^2}{\partial \varphi^2} \right)$$

$$\hat{L}_z = -i\hbar \partial / \partial \varphi$$

$$\hat{L}^2 Y_{\ell m} = \hbar^2 \ell(\ell + 1) Y_{\ell m} \text{ уравнение на собств.знач. } L^2$$

$Y_{\ell m}(\theta, \varphi)$ - сферические функции

$$Y_{\ell m}(\theta, \varphi) = P_{\ell}^{(m)}(\cos \theta) \exp(im\varphi)$$

$P_{\ell}^{(m)}(\cos \theta)$ - присоединенные полиномы Лежандра

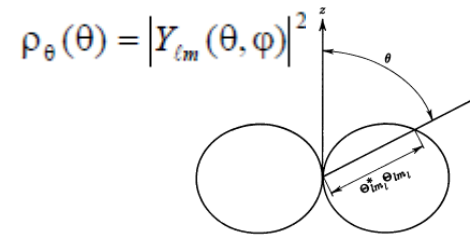
$Y_{\ell m}(\theta, \varphi)$ - являются также собств. функциями L_z

$$\hat{L}_z Y_{\ell m}(\theta, \varphi) = -i\hbar \frac{\partial}{\partial \varphi} Y_{\ell m}(\theta, \varphi) = \hbar m Y_{\ell m}(\theta, \varphi)$$

Четность сферических функций:
(изменение при инверсии)

$$Y_{\ell m}(\pi - \theta, \varphi + \pi) = (-1)^{\ell} Y_{\ell m}(\theta, \varphi)$$

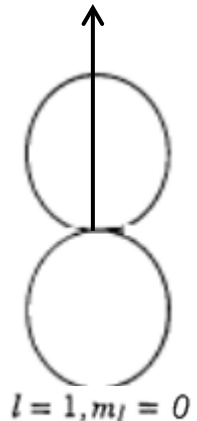
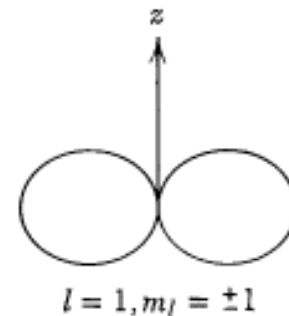
Четность положительна для состояний с четным l и отрицательна для состояний с нечетным l



$$Y_{00} = \frac{1}{\sqrt{4\pi}} \quad \left. \begin{array}{c} \text{Diagram: } l=0, m_l=0 \end{array} \right\} l=0$$

$$\left. \begin{array}{l} Y_{11} = -\sqrt{\frac{3}{8\pi}} e^{i\phi} \sin \theta \\ Y_{10} = \sqrt{\frac{3}{4\pi}} \cos \theta \end{array} \right\} l=1$$

$$Y_{1,-1} = +\sqrt{\frac{3}{8\pi}} e^{-i\phi} \sin \theta$$



Сферические функции

$$Y_{lm}(\theta, \phi) = (-1)^m \left[\frac{2l+1}{4\pi} \frac{(l-m)!}{(l+m)!} \right]^{\frac{1}{2}} P_l^m(\cos\theta) e^{im\phi}, \quad m \geq 0$$

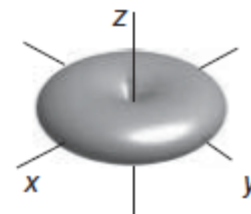
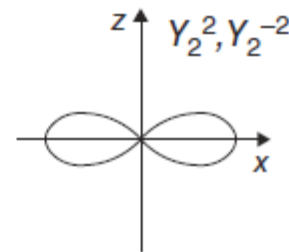
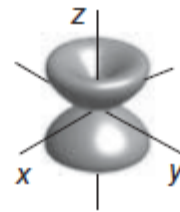
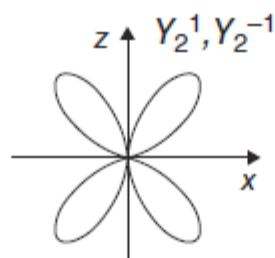
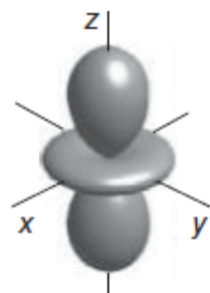
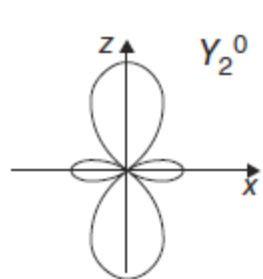
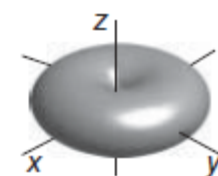
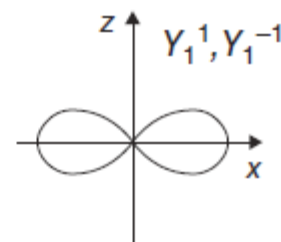
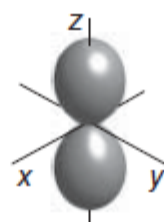
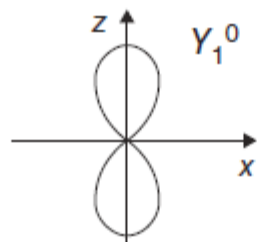
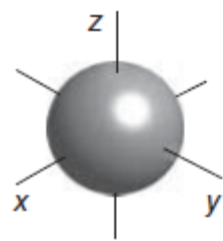
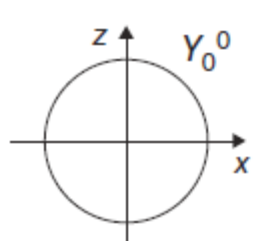
$$P_l^m(\cos\theta) = \sin^m \theta \frac{d^m}{d(\cos\theta)^m} P_l(\cos\theta)$$

$$P_l(\cos\theta) = \frac{1}{2^l l!} \frac{d^l (\cos^2 \theta - 1)^l}{d(\cos\theta)^l}$$

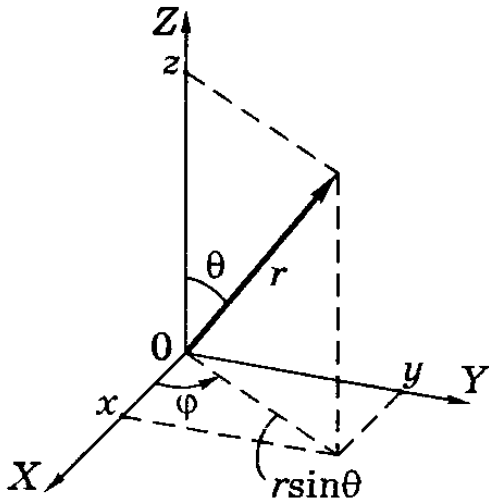
$$\left. \begin{aligned} Y_{00} &= \frac{1}{\sqrt{4\pi}} \\ Y_{11} &= -\sqrt{\frac{3}{8\pi}} e^{i\phi} \sin\theta \\ Y_{10} &= \sqrt{\frac{3}{4\pi}} \cos\theta \\ Y_{1,-1} &= +\sqrt{\frac{3}{8\pi}} e^{-i\phi} \sin\theta \end{aligned} \right\} \begin{array}{l} l=0 \\ \\ l=1 \end{array}$$

$$\left. \begin{aligned} Y_{22} &= \sqrt{\frac{15}{32\pi}} e^{2i\phi} \sin^2\theta \\ Y_{21} &= -\sqrt{\frac{15}{8\pi}} e^{i\phi} \sin\theta \cos\theta \\ Y_{20} &= \sqrt{\frac{5}{16\pi}} (3\cos^2\theta - 1) \\ Y_{2,-1} &= -\sqrt{\frac{15}{8\pi}} e^{-i\phi} \sin\theta \cos\theta \\ Y_{2,-2} &= \sqrt{\frac{15}{32\pi}} e^{-2i\phi} \sin^2\theta \end{aligned} \right\} l=2$$

Сферические функции



Квантование атома водорода



**Сферические
координаты**

$$V = -\frac{Ze^2}{r}$$

В СИ: $e^2 = \frac{e^2}{4\pi\epsilon_0}$

Уравнение Шредингера

$$-\frac{\hbar^2}{2m}\nabla^2\psi(r, \theta, \varphi) + V(r)\psi(r, \theta, \varphi) = E\psi(r, \theta, \varphi)$$

$$-\frac{\hbar^2}{2m}\nabla^2 = -\frac{\hbar^2}{2m}\frac{1}{r}\frac{\partial^2}{\partial r^2}r + \frac{\hat{L}^2}{2mr^2}$$

$$\hat{L}^2 = -\hbar^2\Delta_{\theta\varphi} = -\hbar^2\left(\frac{1}{\sin\theta}\frac{\partial}{\partial\theta}\left(\sin\theta\frac{\partial}{\partial\theta}\right) + \frac{1}{\sin^2\theta}\frac{\partial^2}{\partial\varphi^2}\right)$$

$$\hat{L}_z = -i\hbar\partial/\partial\varphi$$

$[\hat{H}, \hat{L}^2] = 0$ $[\hat{H}, \hat{L}_z] = 0$ $[\hat{L}^2, \hat{L}_z] = 0$ } $\hat{H}, \hat{L}^2, \hat{L}_z$ в центральном поле сохраняются и имеют точно определенные значения

Ищем решение в виде: $\psi(r, \theta, \varphi) = R(r)Y(\theta, \varphi)$

$$\frac{r}{R(r)}\frac{d^2}{dr^2}(rR(r)) + \frac{2mr^2}{\hbar^2}(E - V(r)) = -\frac{\Delta_{\theta\varphi}Y(\theta, \varphi)}{Y(\theta, \varphi)} = \lambda$$

Т.к. левая часть зависит от r, а правая от углов, то λ -константа

Квантование атома водорода

Угловая часть

$$-\Delta_{\theta\varphi} Y(\theta, \varphi) = \lambda Y(\theta, \varphi)$$

Это уравнение на собств.знач. L^2

$$\hat{L}^2 Y_{\ell m} = \hbar^2 \ell(\ell + 1) Y_{\ell m}$$

$Y_{\ell m}(\theta, \varphi)$ - сферические функции

$$Y_{\ell m}(\theta, \varphi) = P_{\ell}^{(m)}(\cos \theta) \exp(im\varphi)$$

$P_{\ell}^{(m)}(\cos \theta)$ - присоединенные полиномы Лежандра

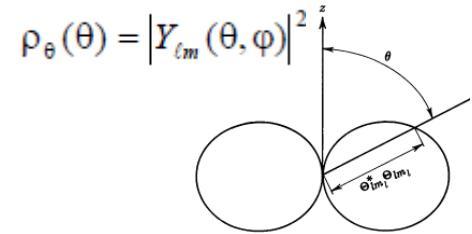
$Y_{\ell m}(\theta, \varphi)$ - являются также собств. функциями L_z

$$\hat{L}_z Y_{\ell m}(\theta, \varphi) = -i\hbar \frac{\partial}{\partial \varphi} Y_{\ell m}(\theta, \varphi) = \hbar m Y_{\ell m}(\theta, \varphi)$$

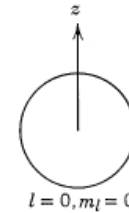
Четность сферических функций:
(изменение при инверсии)

$$Y_{\ell m}(\pi - \theta, \varphi + \pi) = (-1)^{\ell} Y_{\ell m}(\theta, \varphi)$$

Четность положительна для состояний с четным l и отрицательна для состояний с нечетным l



$$Y_{00} = \frac{1}{\sqrt{4\pi}}$$



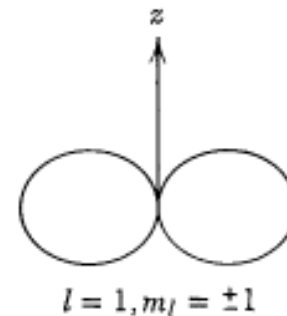
$l = 0$

$$Y_{11} = -\sqrt{\frac{3}{8\pi}} e^{i\varphi} \sin \theta$$

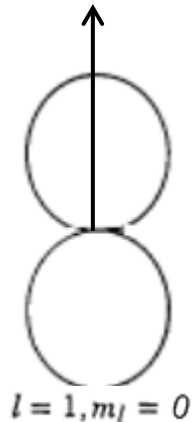
$$Y_{10} = \sqrt{\frac{3}{4\pi}} \cos \theta$$

$$Y_{1,-1} = +\sqrt{\frac{3}{8\pi}} e^{-i\varphi} \sin \theta$$

$l = 1$



$l = 1, m_l = \pm 1$



$l = 1, m_l = 0$

Квантование атома водорода

Радиальная часть

$$-\frac{\hbar^2}{2m} \frac{1}{r} \frac{d^2}{dr^2} (rR(r)) + \frac{\hbar^2 \ell(\ell+1)}{2mr^2} R(r) + V(r)R(r) = ER(r) \quad u(r) = rR(r)$$

$$-\frac{\hbar^2}{2m} \frac{d^2 u(r)}{dr^2} + V_{\text{eff}}(r)u(r) = Eu(r) \quad \text{где:} \quad V_{\text{eff}}(r) = -\frac{Ze^2}{r} + \frac{\hbar^2 \ell(\ell+1)}{2mr^2}$$

Решение: $R_{n\ell}(r) = N_{n\ell} \cdot r^\ell \exp\left(-\frac{Zr}{na_0}\right) \cdot L_{n-\ell-1}^{2\ell+1}(2Zr/na_0) \quad \int_0^\infty R_{n\ell}^2(r)r^2 dr = 1$

$$E = \frac{Z^2 Ry}{(n_r + l + 1)^2} \quad n = n_r + l + 1$$

где: n_r – радиальное квантовое число
(степень полинома Лягерра L_{n_r})

$$R_{n\ell}(r) = \left[\left(\frac{2Z}{na_0} \right)^3 \frac{(n-l-1)!}{2n[(n+l)!]^3} \right]^{1/2} e^{-\rho/2} \rho^l L_{n+l}^{2l+1}(\rho), \quad \rho \equiv \left(\frac{2Z}{a_0 n} \right) r$$

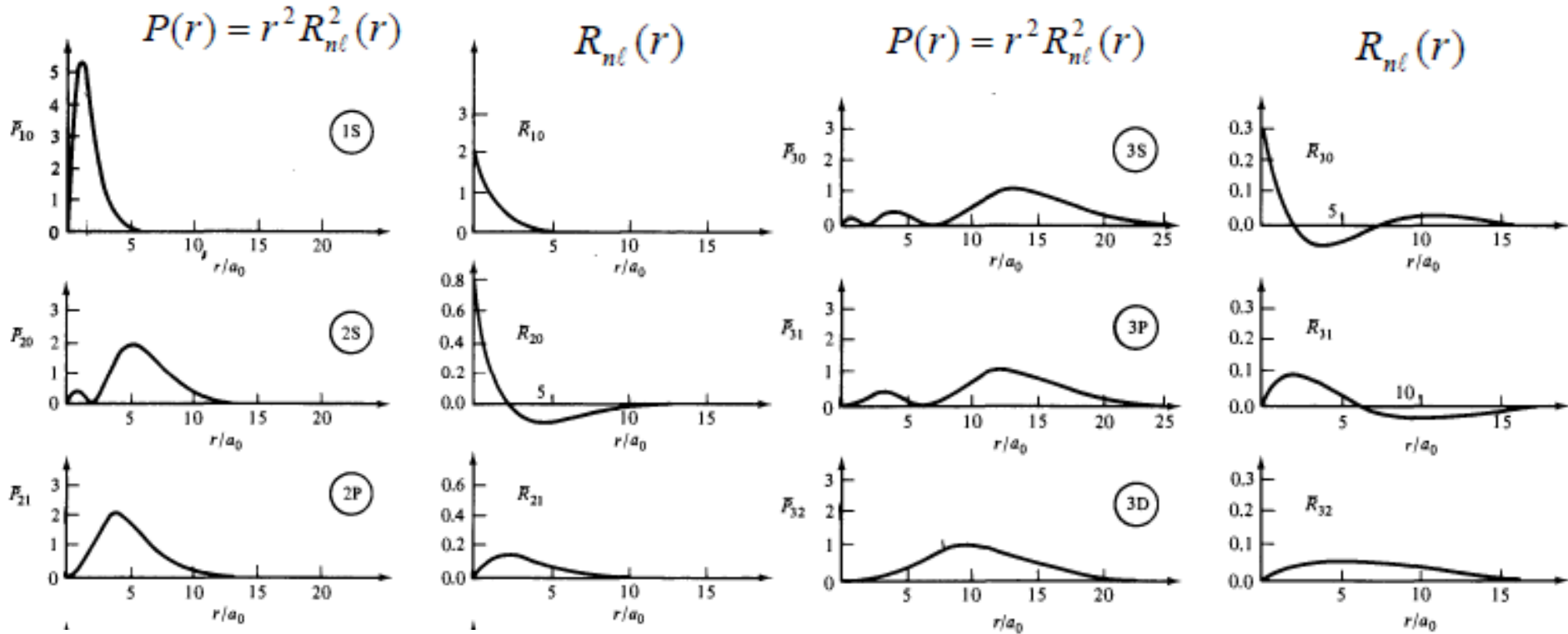
$$1s \quad R_{10}(r) = 2(Z/a_0)^{3/2} \exp(-Zr/a_0),$$

$$2s \quad R_{20}(r) = 2(Z/2a_0)^{3/2} (1 - Zr/2a_0) \exp(-Zr/2a_0)$$

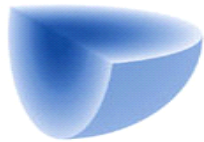
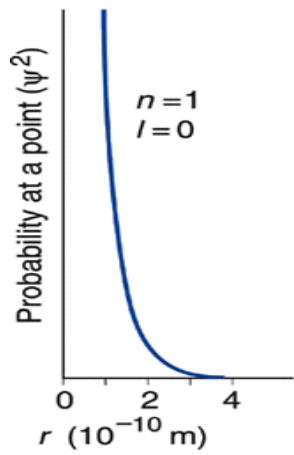
$$2p \quad R_{21}(r) = \frac{2}{\sqrt{3}} (Z/2a_0)^{3/2} \cdot Zr/2a_0 \cdot \exp(-Zr/2a_0)$$

Квантование атома водорода

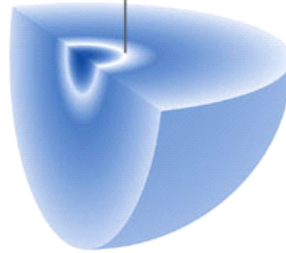
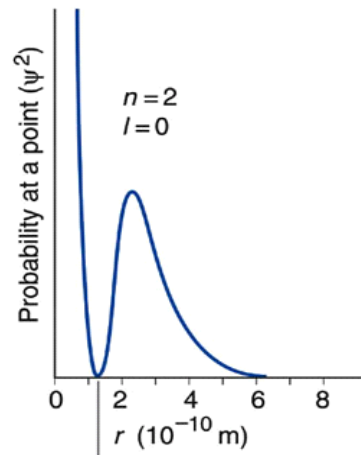
Радиальная часть



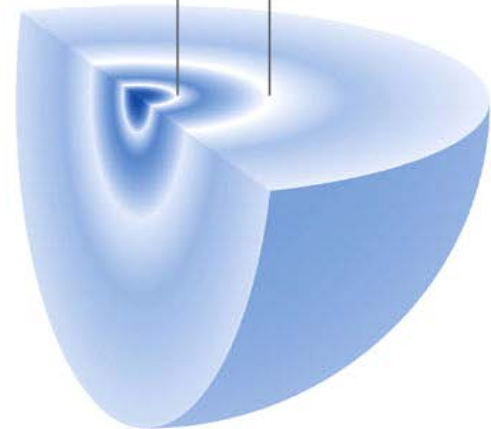
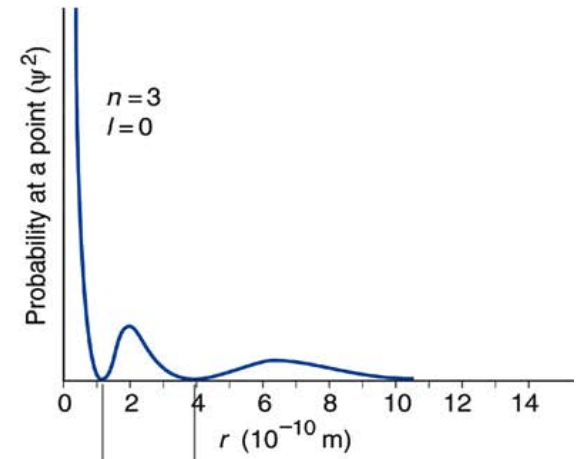
Радиальная часть волновой функции и соответствующие плотности вероятности нахождения электрона на расстоянии r в атоме водорода для низших состояний. (r нормирован на боровский радиус)



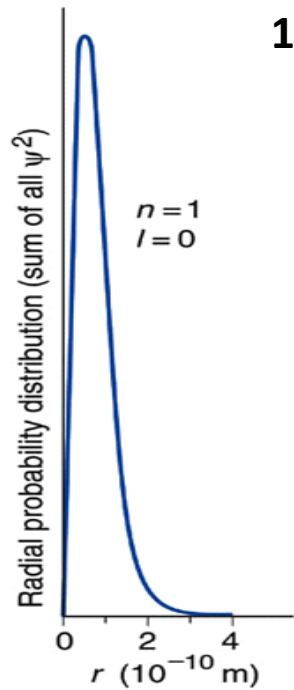
1s



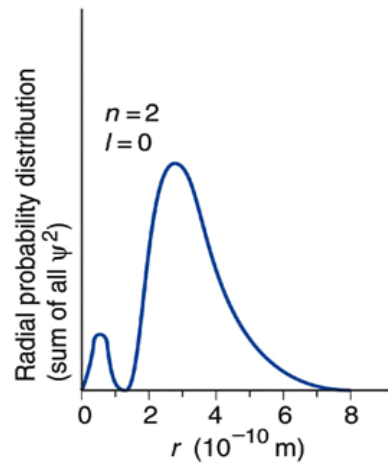
2s



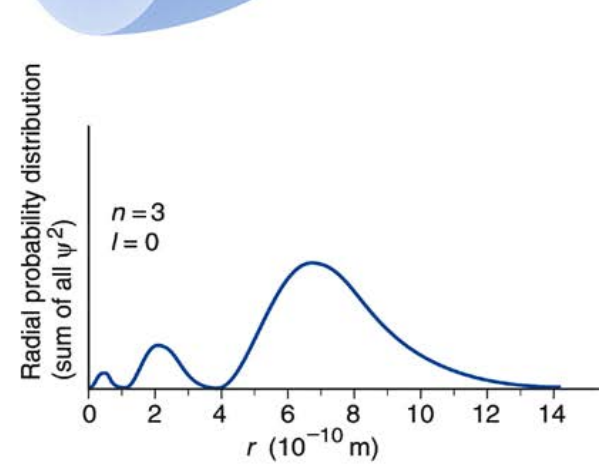
3s



A 1s orbital

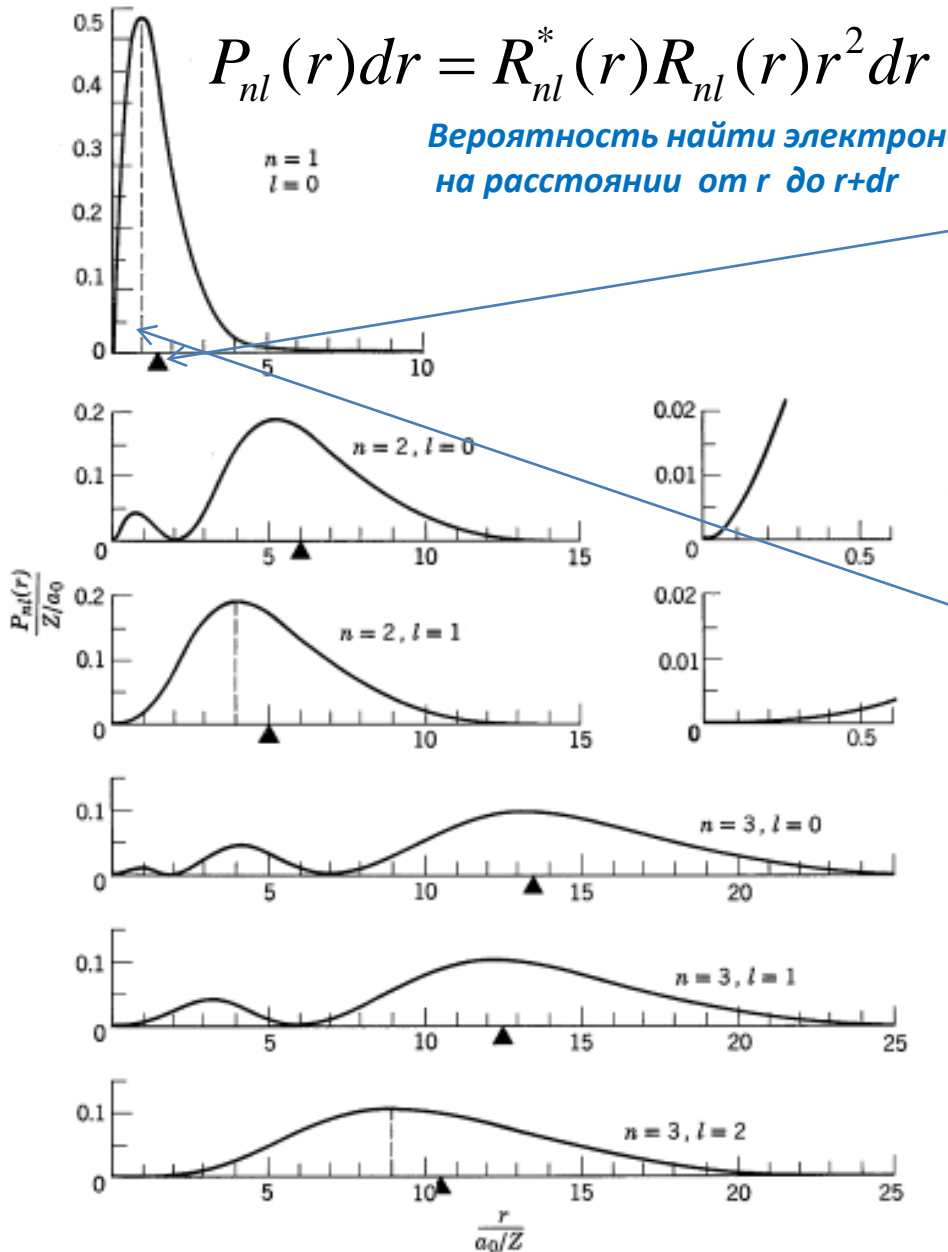


B 2s orbital



C 3s orbital

Квантование атома водорода



$$\int_0^{\infty} R_{nl}^*(r)R_{nl}(r)r^2 dr = 1$$

Среднее значение $\langle r \rangle$

$$\langle r_{nl} \rangle = \int_0^{\infty} r P_{nl}(r) dr$$

$$\langle r_{nl} \rangle = \frac{n^2 a_0}{Z} \left\{ 1 + \frac{1}{2} \left[1 - \frac{l(l+1)}{n^2} \right] \right\}$$

Наивероятнейшее значение $r = r_{max}$

$$\frac{d}{dr} P_{nl}(r) = 0 \Rightarrow r_{max}$$

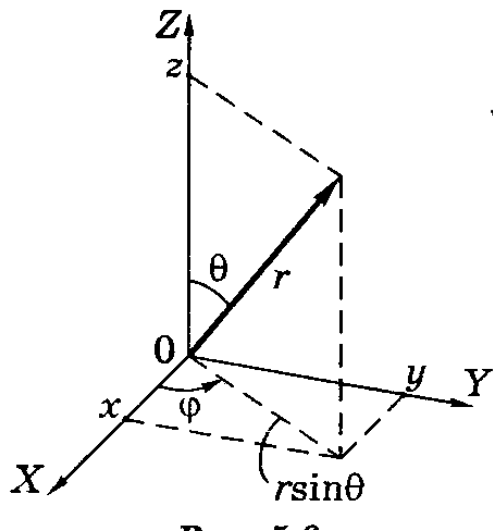
Состояния с максимальным $l = n-1$ соответствуют боровским орбитам

$$r_{max} = r_B = \frac{n^2 a_0}{Z}$$

Квантование атома водорода

Квантовые числа			Нормированная волновая функция
n	l	m_l	
1	0	0	$\psi_{100} = \frac{1}{\sqrt{\pi}} \left(\frac{Z}{a_0}\right)^{3/2} e^{-Zr/a_0}$
2	0	0	$\psi_{200} = \frac{1}{4\sqrt{2\pi}} \left(\frac{Z}{a_0}\right)^{3/2} \left(2 - \frac{Zr}{a_0}\right) e^{-Zr/2a_0}$
2	1	0	$\psi_{210} = \frac{1}{4\sqrt{2\pi}} \left(\frac{Z}{a_0}\right)^{3/2} \frac{Zr}{a_0} e^{-Zr/2a_0} \cos \theta$
2	1	± 1	$\psi_{21\pm 1} = \frac{1}{8\sqrt{\pi}} \left(\frac{Z}{a_0}\right)^{3/2} \frac{Zr}{a_0} e^{-Zr/2a_0} \sin \theta e^{\pm i\varphi}$
3	0	0	$\psi_{300} = \frac{1}{81\sqrt{3\pi}} \left(\frac{Z}{a_0}\right)^{3/2} \left(27 - 18\frac{Zr}{a_0} + 2\frac{Z^2r^2}{a_0^2}\right) e^{-Zr/3a_0}$
3	1	0	$\psi_{310} = \frac{\sqrt{2}}{81\sqrt{\pi}} \left(\frac{Z}{a_0}\right)^{3/2} \left(6 - \frac{Zr}{a_0}\right) \frac{Zr}{a_0} e^{-Zr/3a_0} \cos \theta$
3	1	± 1	$\psi_{31\pm 1} = \frac{1}{81\sqrt{\pi}} \left(\frac{Z}{a_0}\right)^{3/2} \left(6 - \frac{Zr}{a_0}\right) \frac{Zr}{a_0} e^{-Zr/3a_0} \sin \theta e^{\pm i\varphi}$
3	2	0	$\psi_{320} = \frac{1}{81\sqrt{6\pi}} \left(\frac{Z}{a_0}\right)^{3/2} \frac{Z^2r^2}{a_0^2} e^{-Zr/3a_0} (3 \cos^2 \theta - 1)$
3	2	± 1	$\psi_{32\pm 1} = \frac{1}{81\sqrt{\pi}} \left(\frac{Z}{a_0}\right)^{3/2} \frac{Z^2r^2}{a_0^2} e^{-Zr/3a_0} \sin \theta \cos \theta e^{\pm i\varphi}$
3	2	± 2	$\psi_{32\pm 2} = \frac{1}{162\sqrt{\pi}} \left(\frac{Z}{a_0}\right)^{3/2} \frac{Z^2r^2}{a_0^2} e^{-Zr/3a_0} \sin^2 \theta e^{\pm 2i\varphi}$

Квантование атома водорода



$$\nabla^2 \psi + \frac{2m}{\hbar^2} \left(E + \frac{Ze^2}{r} \right) \psi = 0 \quad \text{При } E < 0 \quad E_n = -\frac{me^4}{2\hbar^2} \frac{Z^2}{n^2}$$

$$\psi_{nlm}(r, \theta, \varphi) = R_{nl}(r) \cdot Y_{lm}(\theta, \varphi)$$

$$Y_{lm}(\theta, \varphi) = \Theta_{l|m|}(\theta) \cdot e^{im\varphi} \quad - \text{собств. функция } L^2 \text{ и } L_z$$

Собственные значения L^2

$$L^2 = l(l + 1) \hbar^2,$$

$$L = \hbar \sqrt{l(l + 1)}$$

Собственные значения L_z

$$L_z = m\hbar,$$

Главное квантовое число

$$n = 1, 2, 3, \dots$$

Орбитальное квантовое число

$$l = 0, 1, 2, \dots, n - 1$$

Магнитное квантовое число

$$m = 0, \pm 1, \pm 2, \dots, \pm l$$

Кратность вырождения (без спина)

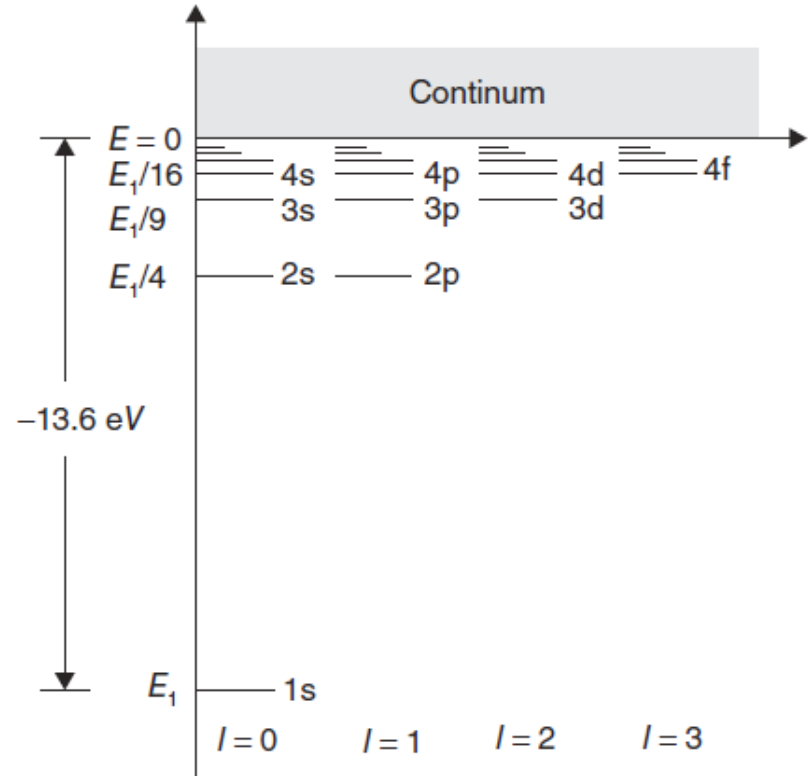
$$N = \sum_{l=0}^{n-1} (2l + 1) = 1 + 3 + 5 + \dots + (2n - 1) = n^2$$

Состояния электрона в атоме водорода

Квантовое число l	0	1	2	3	4	5
Символ состояния	<i>s</i>	<i>p</i>	<i>d</i>	<i>f</i>	<i>g</i>	<i>h</i>

$$\Psi_{nlm}(r, \theta, \varphi) = R_{nl}(r) \cdot Y_{lm}(\theta, \varphi)$$

$$Y_{lm}(\theta, \varphi) = \Theta_{l|m|}(\theta) \cdot e^{im\varphi}$$



Пример:

$$\rho = r/r_1$$

r_1 — боровский радиус

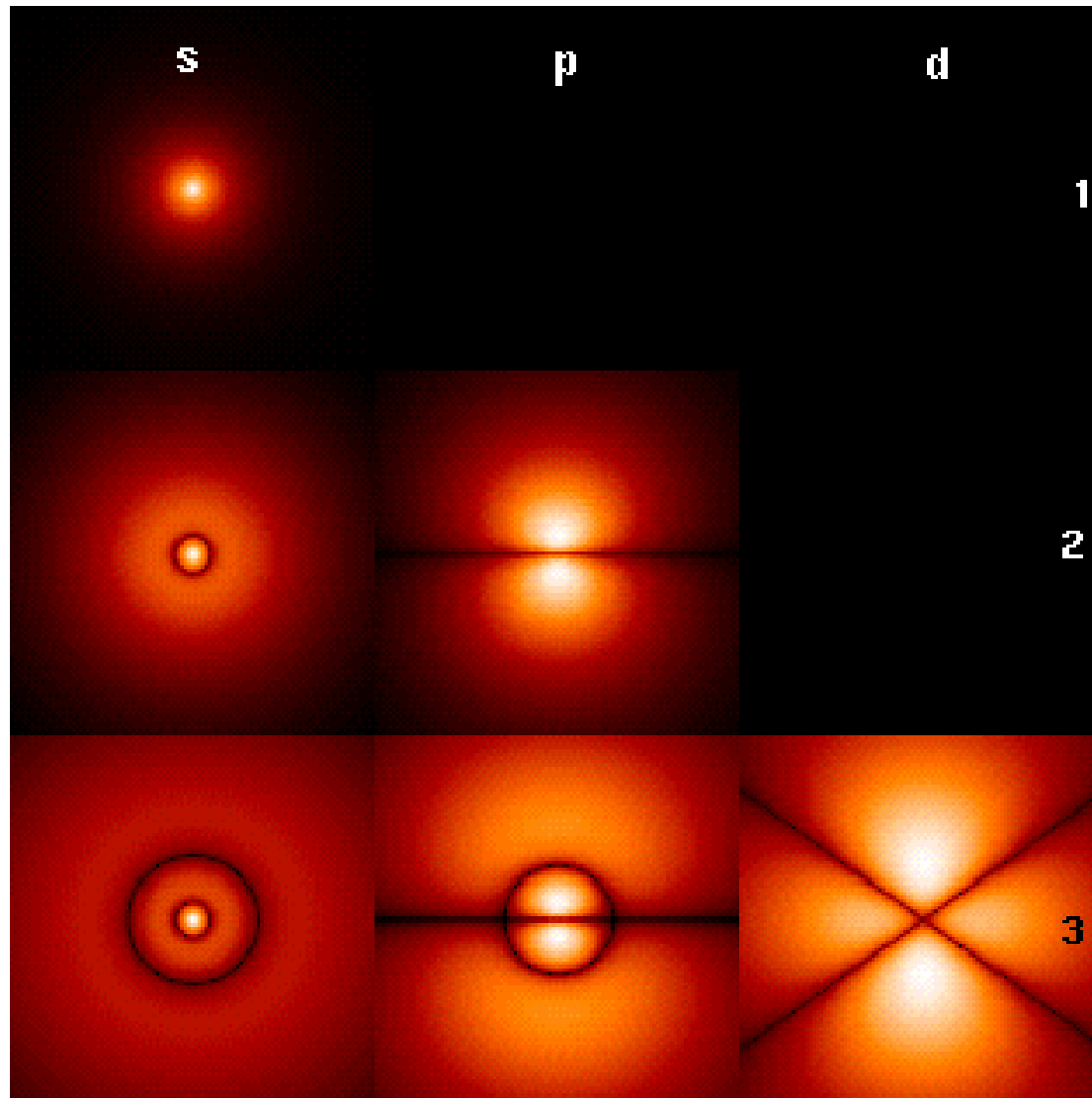
Состояние	n, l	$R(\rho)$
1s	1, 0	$e^{-\rho}$
2s	2, 0	$(2-\rho)e^{-\rho/2}$
2p	2, 1	$\rho e^{-\rho/2}$

Состояние	$l, m $	$\Theta_{l m }(\theta)$
s	0, 0	1
p	1, 0	$\cos \theta$
	1, 1	$\sin \theta$

Вероятность найти электрон
на расстоянии от r до $r+dr$

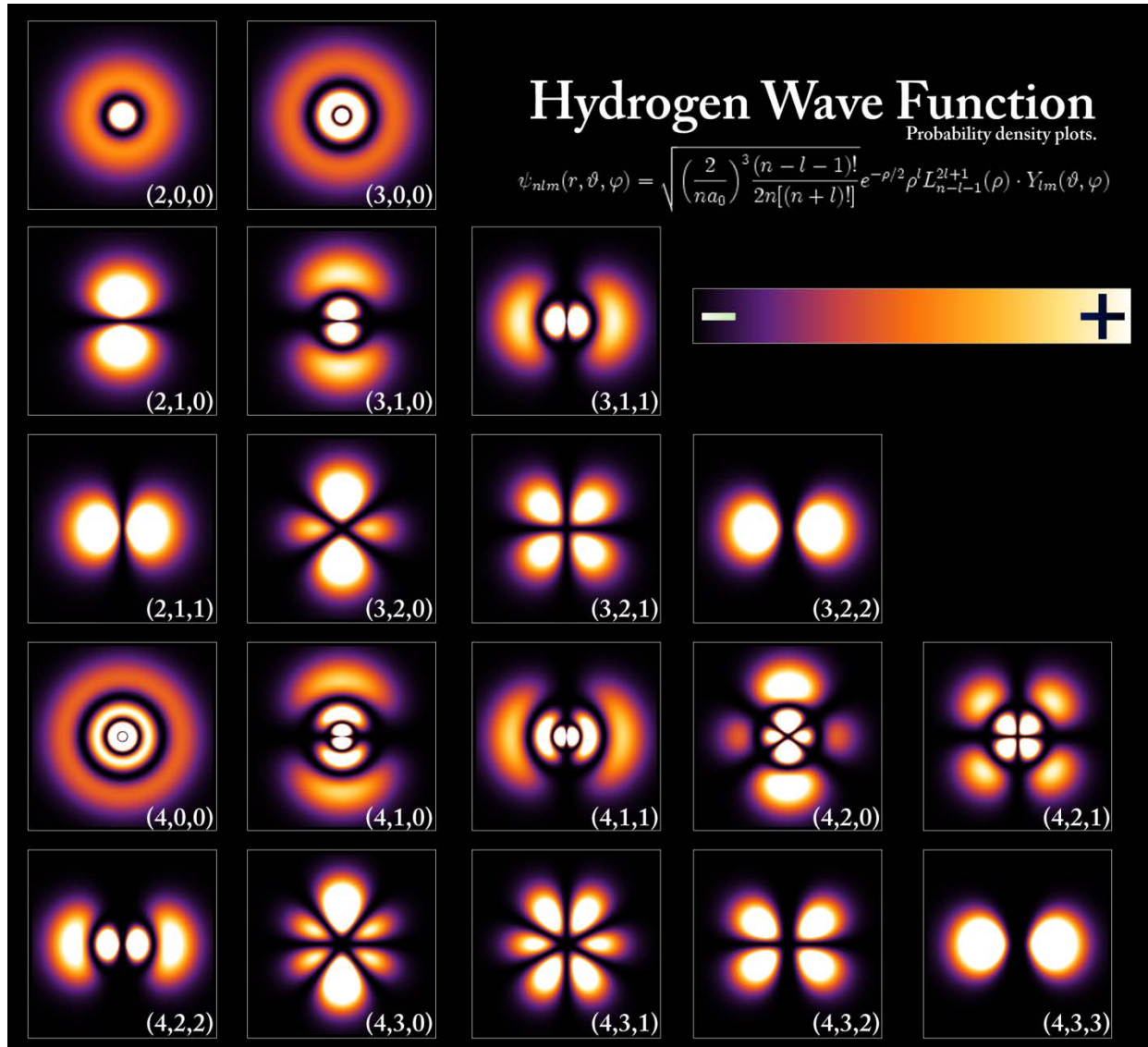
$$dP = Ar^2\psi^2dr$$

Квантование атома водорода



Распределение электронной плотности ($m=0$)

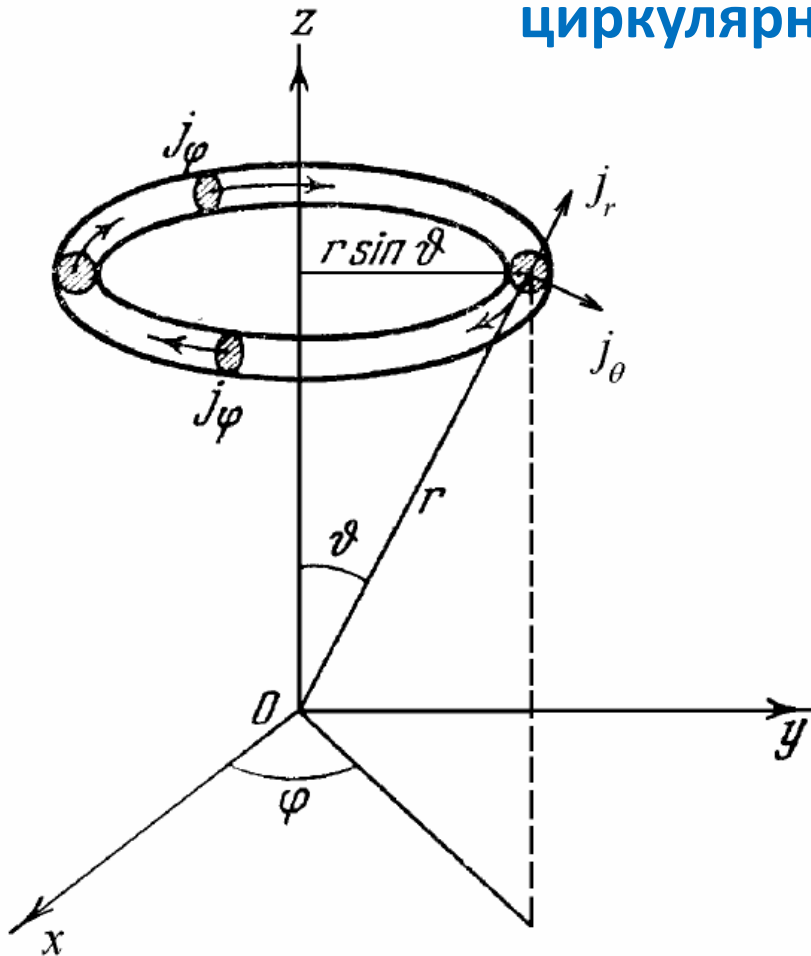
Квантование атома водорода



Волновые функции атома водорода

Квантование атома водорода

циркулярные состояния



При больших значениях $n, l \gg 1$ (Ридберговский атом) ток вероятности циркулирует вокруг ядра в плоскости $z = 0$, что соответствует классическому движению электрона по боровской орбите.

$$\vec{j} = \frac{\hbar}{2mi} (\psi^* \nabla \psi - \psi \nabla \psi^*)$$

$$\nabla = \vec{e}_r \frac{\partial}{\partial r} + \vec{e}_\theta \frac{1}{r} \frac{\partial}{\partial \theta} + \vec{e}_\varphi \frac{1}{r \sin \theta} \frac{\partial}{\partial \varphi}$$

$$j_\varphi = \frac{\hbar m_\ell}{mr \sin(\theta)} |\psi_{nlm_\ell}|^2$$

$$(n \gg 1) \quad (\ell = n - 1, m_\ell = \ell = n - 1)$$

$$\rho(\theta) \sim |\psi_{nlm_\ell}|^2 \sim |P_\ell^\ell(\cos \theta)|^2 \sim \sin^{2\ell}(\theta)$$

$$j_\varphi \approx \frac{\hbar \ell}{mr \sin(\theta)} |\psi_{n\ell\ell}|^2 \approx \rho v$$

$$v = L/mr$$

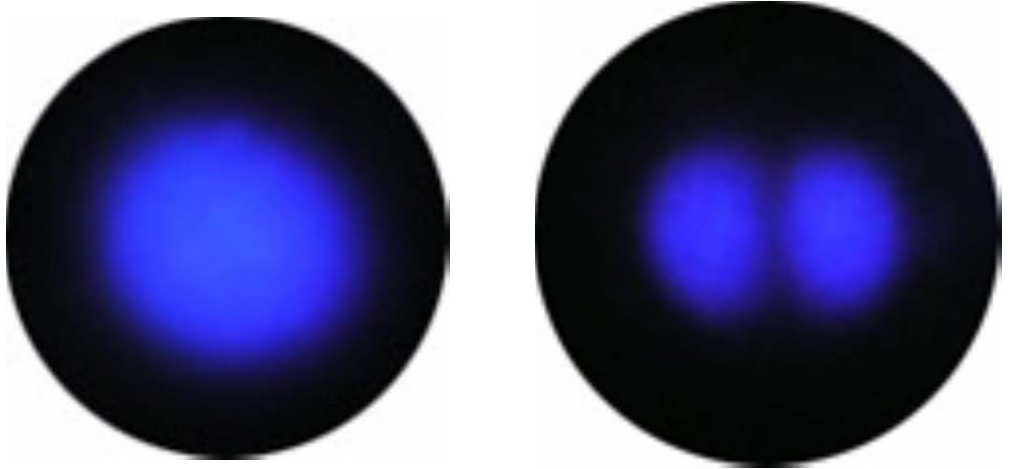
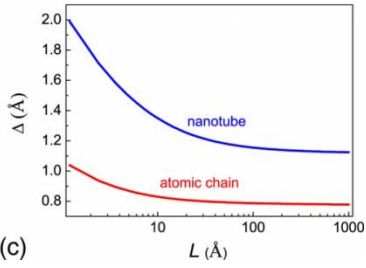
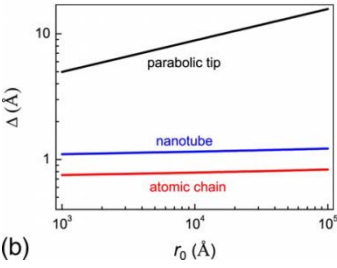
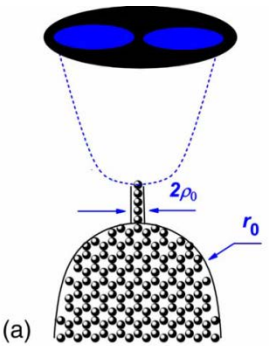
$$r_{\max} = r_B = \frac{n^2 a_0}{Z}$$

Imaging the atomic orbitals of carbon atomic chains with field-emission electron microscopy

I. M. Mikhailovskij,* E. V. Sadanov, T. I. Mazilova, V. A. Ksenofontov, and O. A. Velicodnaja

10.1103/PhysRevB.80.165404

Видим атом!!!

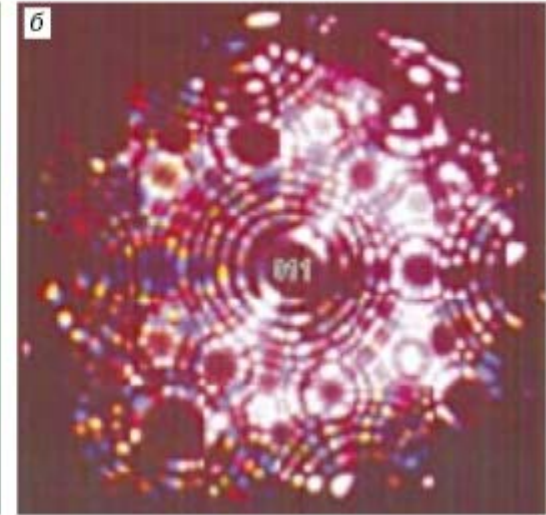
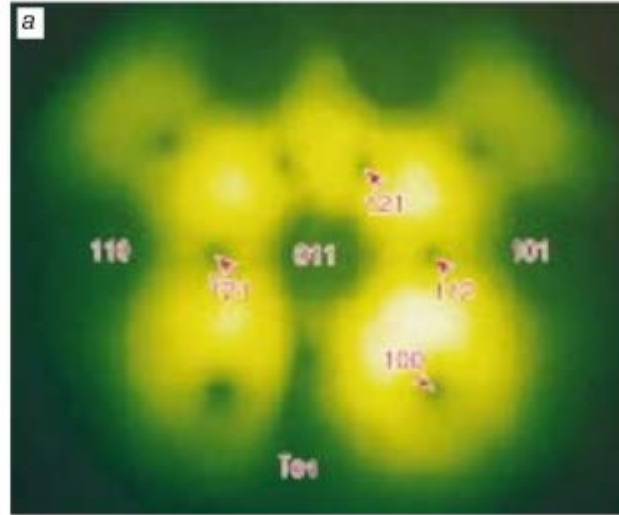
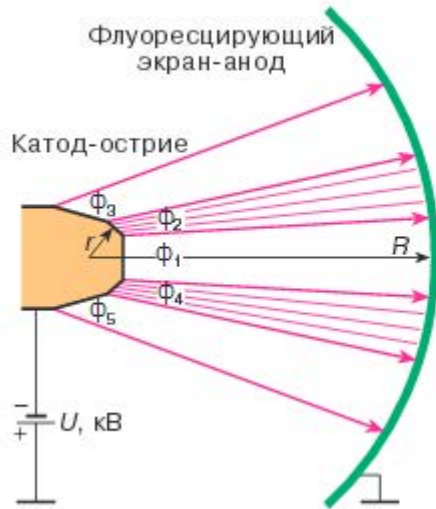


FEEM images of the end atoms of carbon chains

Field-Emission Electron Microscopy FEEM

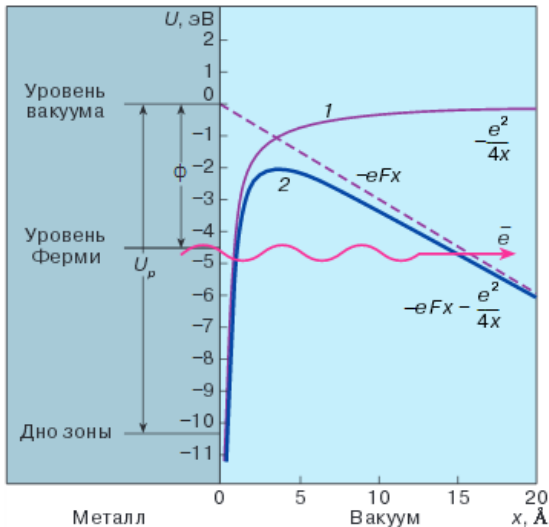
Автоэлектронный микроскоп) -(или **Field emission microscopy**) безлинзовый электронно-оптический прибор для получения увеличенного в миллионы раз изображения поверхности твердого тела. Изобретен в 1936 немецким физиком Э.Мюллером. Увеличение электронного проектора равно отношению радиусов внешней сферы R к радиусу точечного эмиттера r ($M \sim R/r$).

Автоэлектронный микроскоп (Field emission microscopy)



Увеличение $M \approx R / r \approx 10^5 - 10^6$

a - автоэмиссионное, *б* - автоионное
изображение вольфрамового острия



$$D \approx \exp \left[-\frac{2}{\hbar} \int_0^l \sqrt{2m(U-E)} dx \right],$$

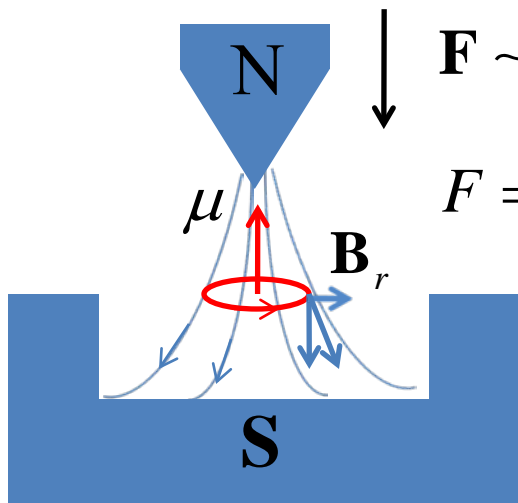
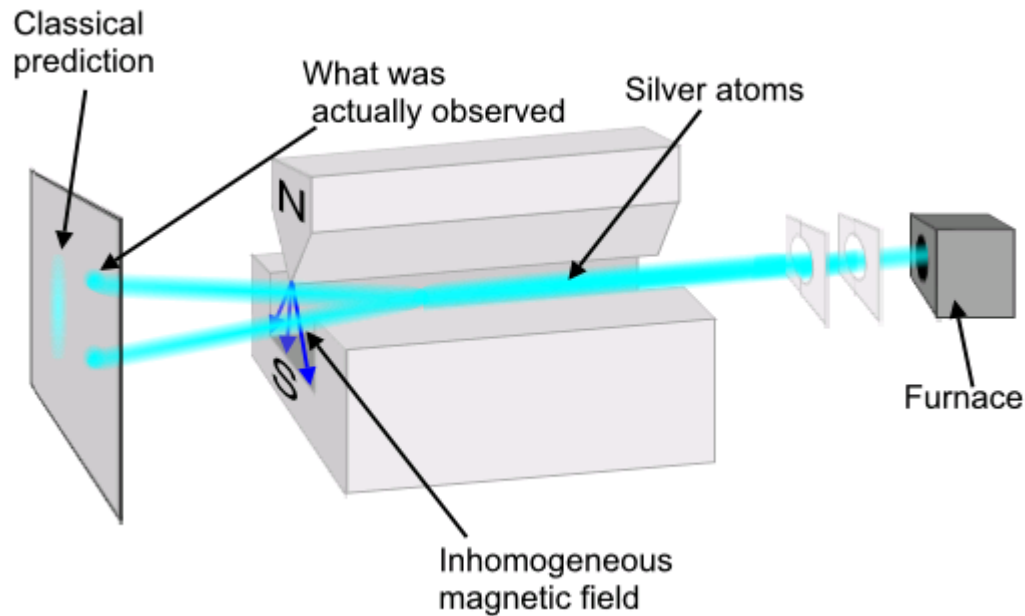
Рис. 1. Потенциальный барьер на границе металл-вакуум: 1 – потенциал сил зеркального изображения, 2 – потенциальный барьер в сильном электрическом поле. Уровень Ферми – энергия, соответствующая максимальной энергии электрона в металле при температуре абсолютного нуля. Дно зоны – дно зоны проводимости

[http://psec.uchicago.edu/Papers/autoelectron emission.pdf](http://psec.uchicago.edu/Papers/autoelectron%20emission.pdf)

Опыт Штерна-Герлаха



Отто Штерн Вальтер Герлах
(1922)



$$\mathbf{F} \sim q[\mathbf{v}\mathbf{B}_r]$$

$$F = \mu_z \frac{\partial B}{\partial z}$$

$$2s + 1 = 2 \Rightarrow s = \frac{1}{2}$$

$$\mu = \pm \mu_B$$

Удвоенный магнетизм!

Гиромагнитное отношение

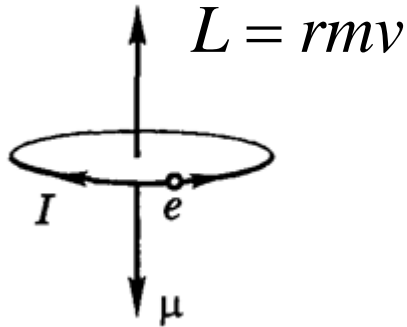
$$\frac{\mu_{sz}}{S_z} = \frac{e}{m}$$

Вместо

$$\frac{\mu_{Lz}}{L_z} = \frac{e}{2m}$$

Спин электрона

Орбитальный момент



$$\mu = I \pi r^2 = \frac{e}{2\pi r / v} \pi r^2$$

$$\mu = -\frac{e}{2m} L \quad \frac{\mu}{L} = \frac{e}{2m}$$

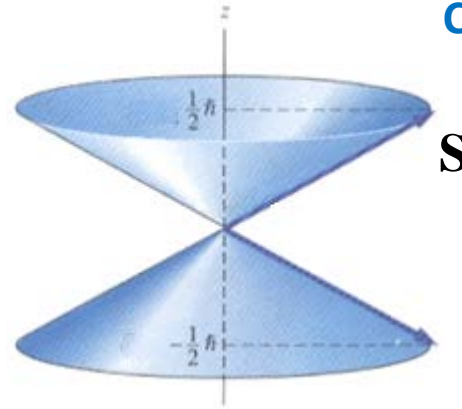
$$\mu_l = -\mu_B \sqrt{l(l+1)}$$

$$\mu_{lz} = -\mu_B m_l$$

$$\mu_B = \frac{e\hbar}{2m} - \text{магнетон Бора}$$

Собственный момент – спин

(Гаудсмит и Уленбек (1925))



Спиновое квантовое число s

Электрон: $s = \frac{1}{2}$

$$S = \hbar \sqrt{s(s+1)} = \hbar \frac{\sqrt{3}}{2}$$

$$\frac{\mu_s}{S} = \frac{e}{m}$$

$$S_z = \hbar m_s = \pm \frac{1}{2} \hbar$$

$$\mu_s = -2\mu_B \sqrt{s(s+1)}$$

$$\mu_{sz} = -2\mu_B m_s \quad m_s = s, s-1, \dots, -s$$

Электрон: $\mu_{sz} = \pm \mu_B$

Полный момент импульса электрона

$$\mathbf{J} = \mathbf{L} + \mathbf{S}$$

$$L = \hbar\sqrt{l(l+1)} \quad l = 0, 1, 2, \dots, n-1$$

$$L_z = \hbar m_l \quad m_l = 0, \pm 1, \pm 2, \dots, \pm l$$

$$S = \hbar\sqrt{s(s+1)} \quad s = \frac{1}{2}$$

$$S_z = \hbar m_s \quad m_s = \pm \frac{1}{2}$$

$$J = \hbar\sqrt{j(j+1)} \quad j = l \pm s = l \pm \frac{1}{2}$$

$$J_z = \hbar m_j \quad m_j = j, j-1, \dots, -j$$

Спектральные обозначения

$${}^{\nu}L_j \quad {}^2S_{1/2}; {}^2P_{1/2}; {}^2P_{3/2} \dots$$

$\nu = 2s$ мультиплетность

В случае $S > L$ мультиплетность $2L+1$

Для электрона

nl_j

Правило отбора

$$\Delta j = 0, \pm 1$$

Правило отбора

$$\Delta l = \pm 1$$

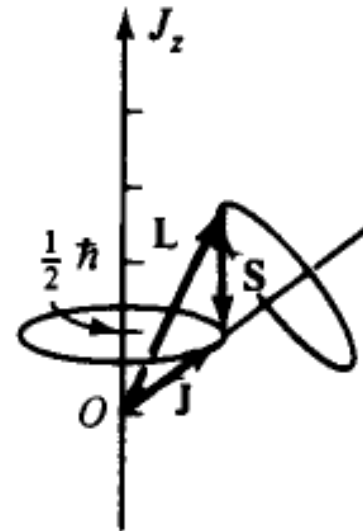
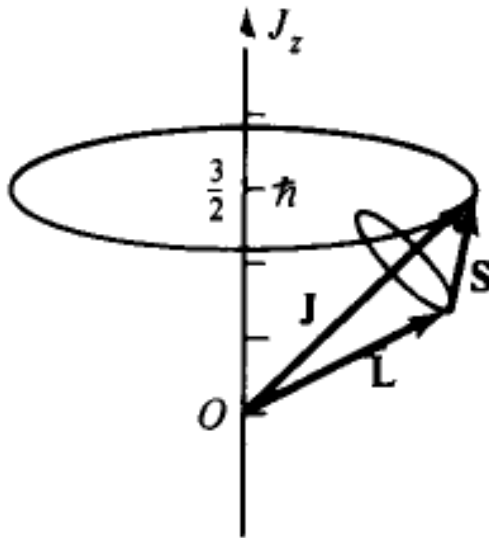
Полный момент импульса электрона

$$\mathbf{J} = \mathbf{L} + \mathbf{S}$$

Для электрона

nl_j

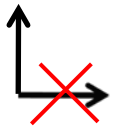
$$j = l + \frac{1}{2}, \quad j = l - \frac{1}{2}$$



В случае $s < l$ мультиплетность $2s+1$

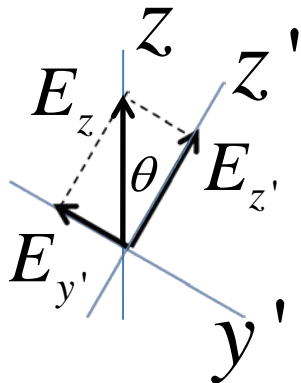
Оптическая аналогия опыта Штерна-Герлаха

Поляризатор пропускает фотоны с проекцией $E \uparrow$ и задерживает с \rightarrow .



Вероятность найти

фотон в состоянии E_z



$$P_z \sim E_z^2$$

$$P_{z'} \sim E_{z'}^2$$

$$E_{z'} = E_z \cos(\theta)$$

Вероятность пройти прибор Z и Z'

$$P_{zz'} = \frac{P_{z'}}{P_z} = \cos^2(\theta)$$

\Rightarrow

$$P_{zz'} = \cos^2\left(\frac{\theta}{2}\right)$$

Магнит ШГ пропускает атомы с проекцией $\mu \uparrow$ и задерживает с \downarrow



Магнит ШГ ведет себя как поляризатор, если в формулы оптики подставить $\theta/2$

Теория возмущений

$$H_0 \Psi_n = E_n \Psi_n$$

$$(H_0 + H')(\Psi_n + \delta\Psi_n) = (E_n + \delta E_n)(\Psi_n + \delta\Psi_n)$$

$$\delta E_n = \int \Psi_n^* H' \Psi_n dV + \int \Psi_n^* (H_0 - E_n) \delta\Psi_n dV$$

$$\delta\Psi_n = \sum_m C_m \Psi_m$$

$$\int \Psi_n^* (H_0 - E_n) \delta\Psi_n dV = \sum_m C_m \int \Psi_n^* (E_m - E_n) \Psi_m dV = 0$$

$$\delta E_n = \int \Psi_n^* H' \Psi_n dV = H'_{nn}$$

$$\langle \Psi_k | H_0 | \delta\Psi_n \rangle + H'_{kn} = E_n \langle \Psi_k | \delta\Psi_n \rangle$$

$$\delta\Psi_n = \sum_{k \neq n} \frac{H'_{kn}}{E_n - E_k} \Psi_k$$

Тонкая структура линий водорода

Релятивистские эффекты

1) Учет релятивистской связи импульса и энергии электрона

Поправка к кинетической энергии:

$$mc^2 \left(\sqrt{1 + (p/mc)^2} - 1 \right) = mc^2 \left(1 + \frac{1}{2} (p/mc)^2 - \frac{1}{8} (p/mc)^4 + \dots - 1 \right) \approx \frac{p^2}{2m} - \frac{(p^2/2m)^2}{2mc^2}$$

$$\delta E_T = \frac{T_0^2}{2mc^2} \approx \frac{R_y^2}{2mc^2} \approx \alpha^2 R_y$$

2) Спин – орбитальное взаимодействие

$$E_{ls} \sim \frac{\vec{\mu}_l \vec{\mu}_s}{r^3}$$

$$\mu_l \cong \mu_s \cong \mu_B$$

$$E_{ls} \approx \frac{\mu_B^2}{a_0^3} \approx \frac{1}{2} \alpha^2 R_y$$

Поправка к кинетической энергии по теории возмущений

$$mc^2 \left(\sqrt{1 + (p/mc)^2} - 1 \right) = mc^2 \left(1 + \frac{1}{2} (p/mc)^2 - \frac{1}{8} (p/mc)^4 + \dots - 1 \right) \approx \frac{p^2}{2m} - \frac{(p^2/2m)^2}{2mc^2}$$

$$\hat{H}_0 = \hat{T}_0 - \frac{Ze^2}{r} \quad \delta E_n = \langle nl | H' | nl \rangle = \langle nl | \frac{\hat{T}_0^2}{2mc^2} | nl \rangle$$

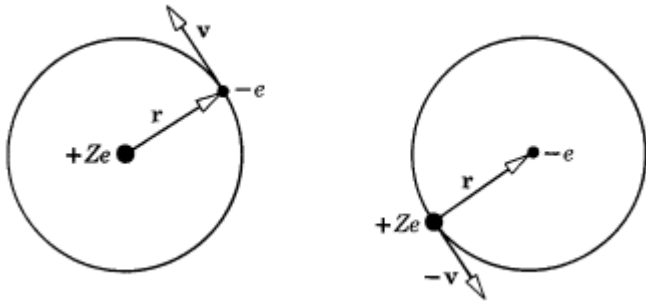
$$\Delta E_T = \langle n\ell | \delta \hat{T} | n\ell \rangle = -\frac{1}{2mc^2} \langle n\ell | (\hat{H}_0 + Ze^2/r)^2 | n\ell \rangle$$

$$\Delta E_T = -\frac{1}{2mc^2} \left(E_{n\ell}^2 + 2E_{n\ell} Ze^2 \langle 1/r \rangle + Z^2 e^4 \langle 1/r^2 \rangle \right) \quad E_{n\ell} = -Z^2 Ry/n^2$$

$$\left\langle \frac{1}{r} \right\rangle = \int R_{n\ell}^2(r) r dr = \frac{Z}{n^2 a_0}, \quad \left\langle \frac{1}{r^2} \right\rangle = \int R_{n\ell}^2(r) dr = \frac{Z^2}{n^3 a_0^2 (\ell + 1/2)}$$

$$\Delta E_T = \frac{\alpha^2 Z^2}{n} E_{n\ell} \left(\frac{1}{\ell + 1/2} - \frac{3}{4n} \right)$$

Спин-орбитальное взаимодействие

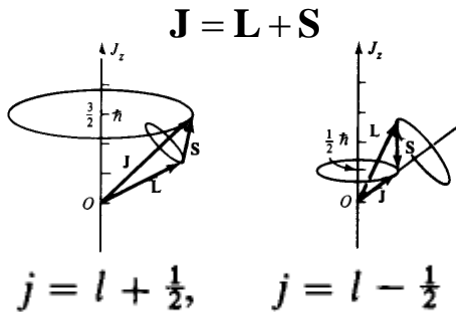


$$\mathbf{E} = \frac{Ze}{4\pi\epsilon_0 r^3} \mathbf{r} \quad \mathbf{B} = -\frac{1}{c^2} \mathbf{v} \times \mathbf{E}$$

$$\Delta E = -\boldsymbol{\mu}_s \cdot \mathbf{B} \quad \Delta E = \frac{g_s \mu_b}{\hbar} \mathbf{S} \cdot \mathbf{B} \quad \text{С учетом поправки Томаса - Френкеля} \quad \Delta E = \frac{1}{2} \frac{g_s \mu_b}{\hbar} \mathbf{S} \cdot \mathbf{B}$$

$$\mathbf{L} = \mathbf{r} \times m\mathbf{v} = -m\mathbf{v} \times \mathbf{r}$$

$$\Delta E = \frac{e^2}{4\pi\epsilon_0 2m^2 c^2 r^3} \mathbf{S} \cdot \mathbf{L} \quad \mathbf{J} = \mathbf{L} + \mathbf{S} \quad \hat{V}_{ls} = A \frac{1}{r^3} (\hat{J}^2 - \hat{L}^2 - \hat{S}^2)$$



$$\Delta E_{ls} = A \hbar^2 \left\langle \frac{1}{r^3} \right\rangle (j(j+1) - l(l+1) - s(s+1))$$

$$\left\langle \frac{1}{r^3} \right\rangle = \int \frac{1}{r} R_{nl}^2(r) dr \quad \left\langle \frac{1}{r^3} \right\rangle = \frac{Z^3}{n^3 a_0^3 \ell(\ell+1)(\ell+1/2)}$$

В базисе состояний $|n, l, j, m_j\rangle$

$$\hat{J}^2 |n, l, j, m_j\rangle = \hbar^2 j(j+1) |n, l, j, m_j\rangle$$

$$\hat{L}^2 |n, l, j, m_j\rangle = \hbar^2 l(l+1) |n, l, j, m_j\rangle$$

$$\hat{S}^2 |n, l, j, m_j\rangle = \hbar^2 s(s+1) |n, l, j, m_j\rangle$$

$$\Delta E_{ls} = \begin{cases} -\frac{\alpha^2 Z^2}{n} E_{nl} \cdot \frac{1}{2(\ell+1/2)(\ell+1)}, & j = \ell + 1/2, \\ \frac{\alpha^2 Z^2}{n} E_{nl} \cdot \frac{1}{2\ell(\ell+1/2)}, & j = \ell - 1/2. \end{cases}$$

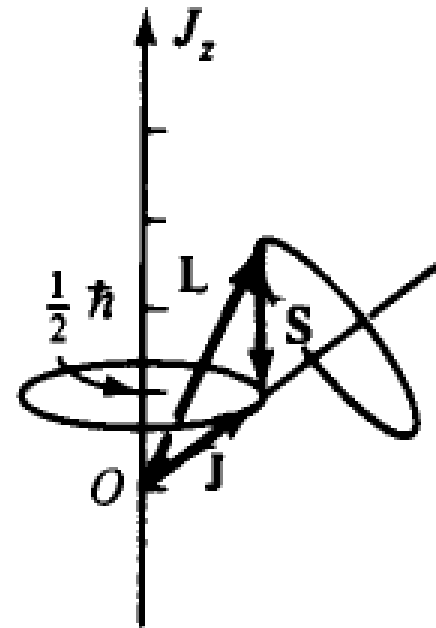
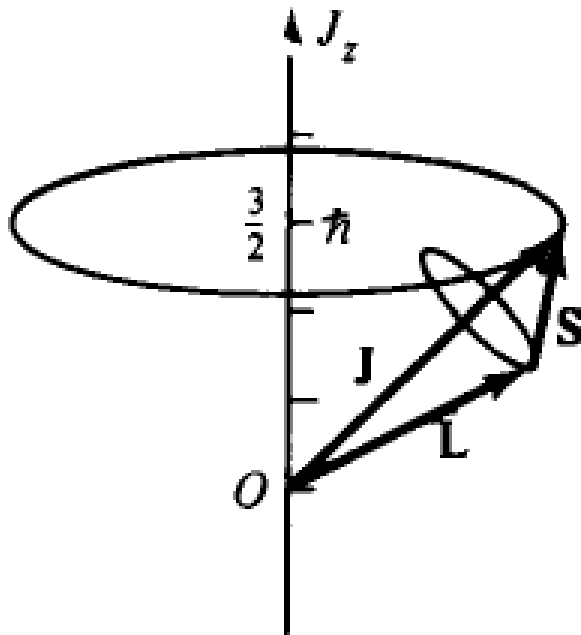
Формула Дирака

$$\Delta E_{n\ell} = \Delta E_T + \Delta E_{ls} = -\frac{\alpha^2 Z^4 Ry}{n^3} \left(\frac{1}{j+1/2} - \frac{3}{4n} \right)$$

Полный момент импульса электрона

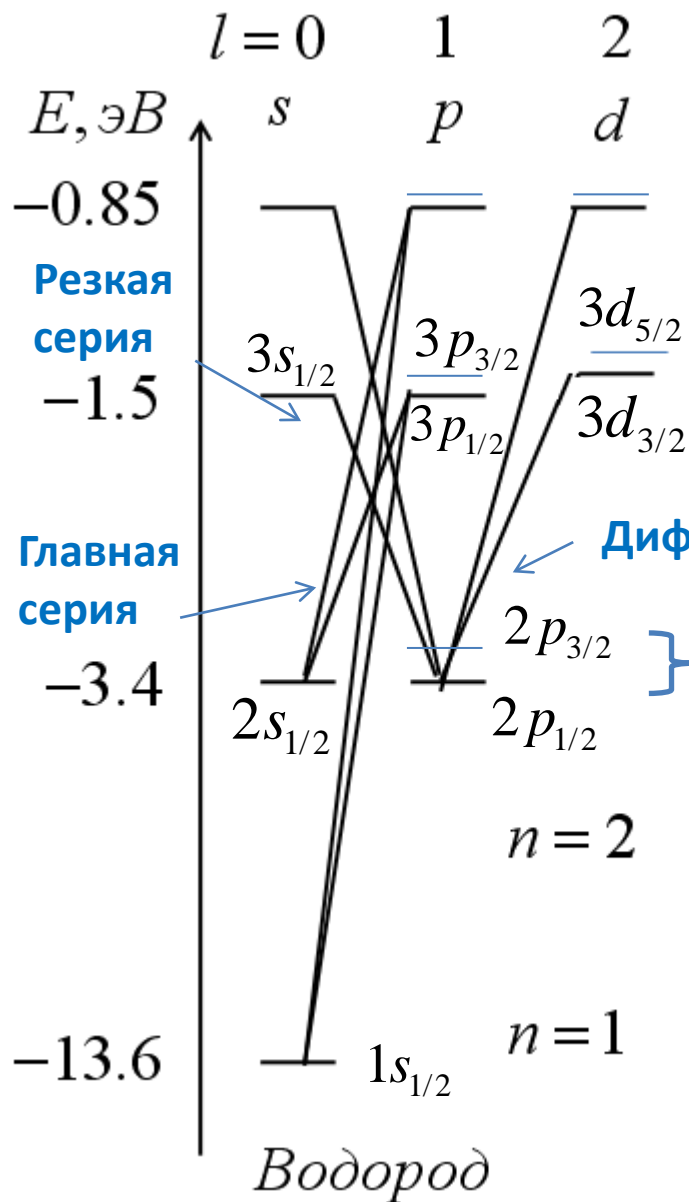
$$\mathbf{J} = \mathbf{L} + \mathbf{S}$$

$$j = l + \frac{1}{2}, \quad j = l - \frac{1}{2}$$



Сложение моментов L и S в случае $l=1$

Тонкая структура линий водорода



$$E = -\frac{\mu e^4}{(4\pi\epsilon_0)^2 2\hbar^2 n^2} \left[1 + \frac{\alpha^2}{n} \left(\frac{1}{j+1/2} - \frac{3}{4n} \right) \right]$$

Формула Дирака

$$j = l + 1/2, l - 1/2$$

$n = 4$

$n = 3$

$$\alpha = \frac{e^2}{\hbar c} \approx \frac{1}{137}$$

Постоянная тонкой структуры

μ Приведенная масса

Обозначения nl_j

$$\Delta E = \frac{\alpha^2}{16} Ry \approx 4.5 \cdot 10^{-5}$$

Релятивистские эффекты (в т.ч. спин – орбитальное взаимодействие) приводят к расщеплению уровней.

Уровни с одинаковыми n, j совпадают: $2s_{1/2}$ $2p_{1/2}$ и т.п.

Правило отбора

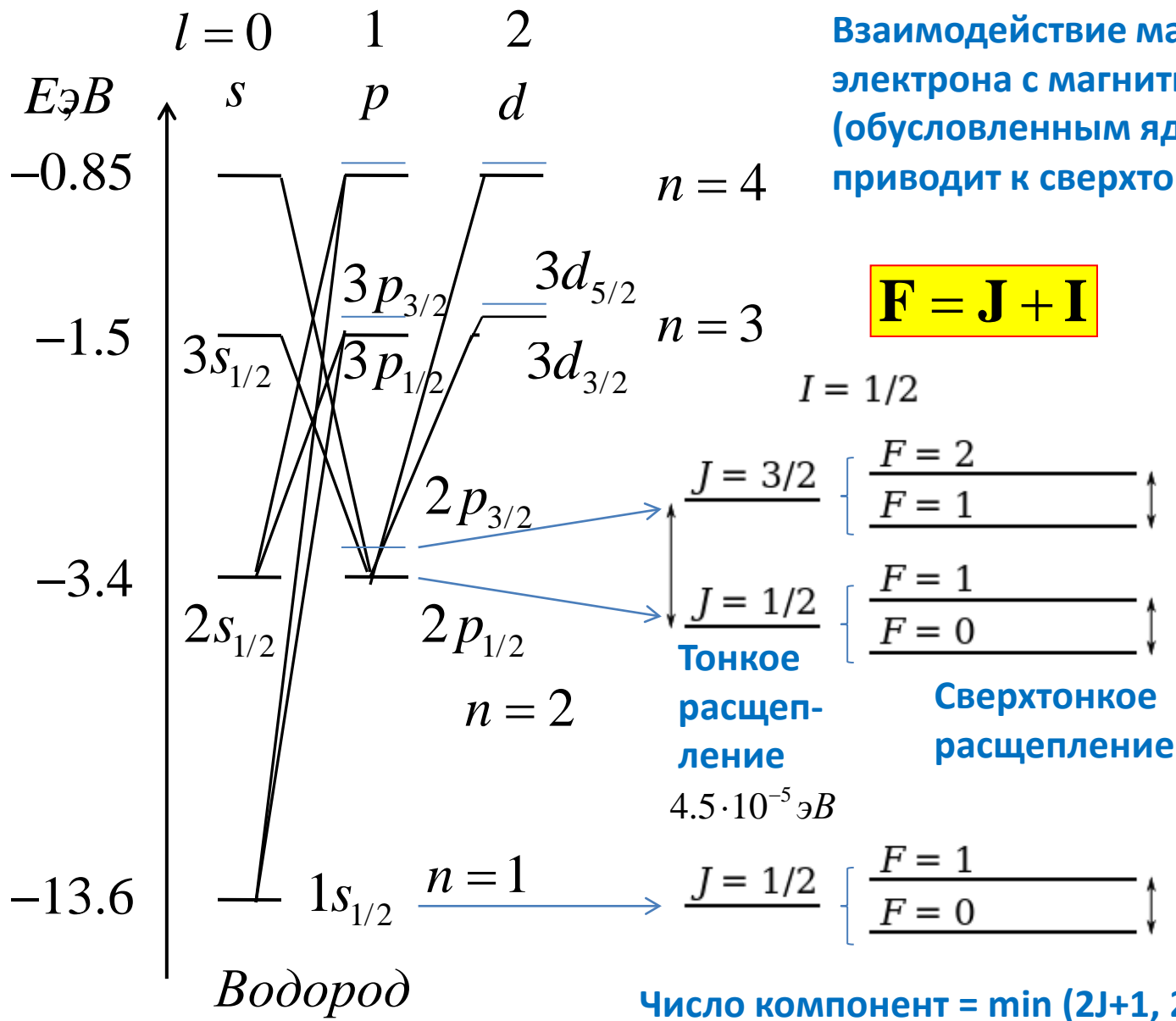
$$\Delta l = \pm 1$$

Правило отбора

$$\Delta j = 0, \pm 1$$

Водород

Сверхтонкая структура линий водорода



Взаимодействие магнитного момента электрона с магнитным моментом ядра (обусловленным ядерным спином) приводит к сверхтонкому расщеплению

$$\mu_N = \frac{e\hbar}{2m_p}$$

Ядерный магнетон

$$\Delta E \sim \frac{\mu_B \mu_N}{a_0^3}$$

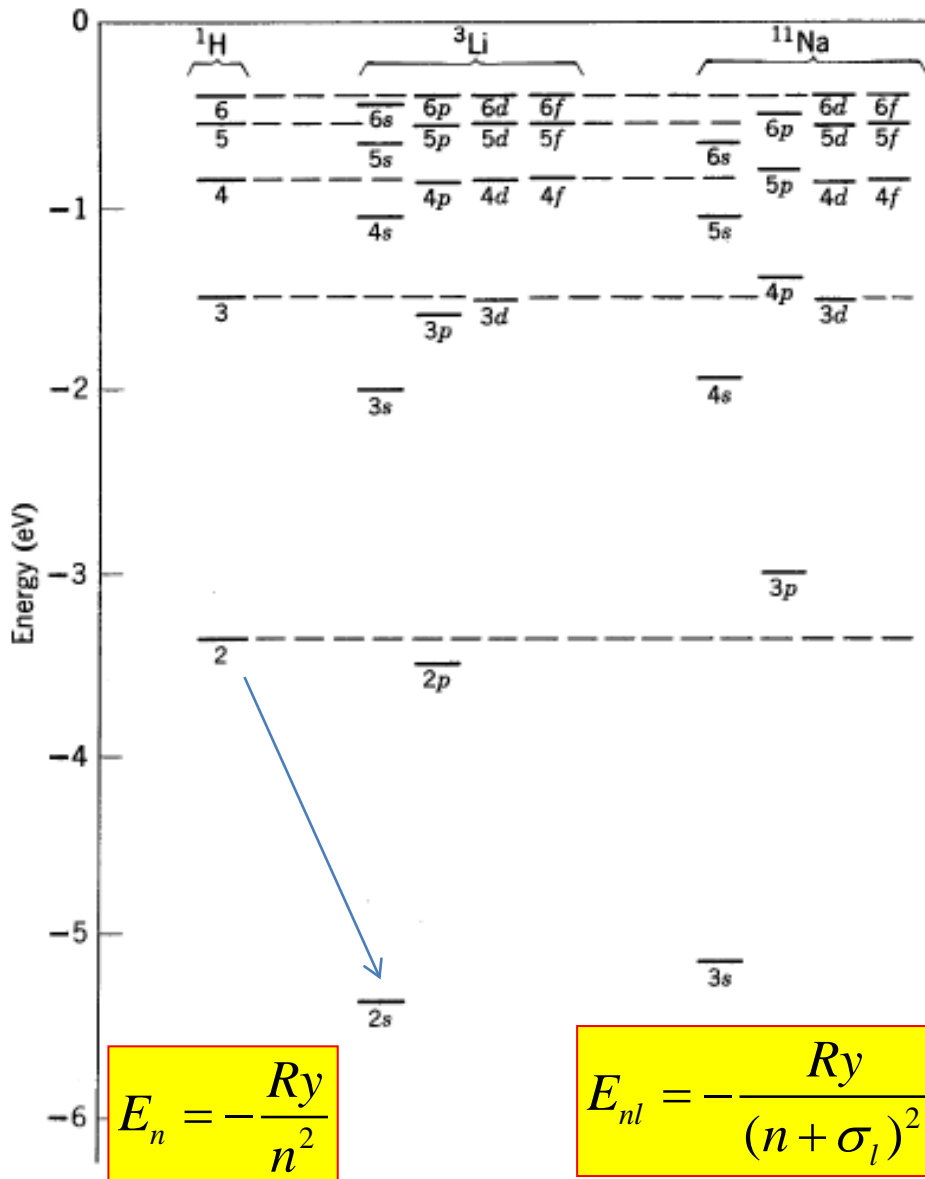
$$\Delta E \sim 10^{-6} \text{ эВ}$$

для H

$$\Delta \lambda = 21 \text{ см}$$

Водород

Спектры щелочных металлов



По сравнению с атомом водорода, в щелочных металлах для данного n энергия меньше при малых l т.к. электрон находится ближе к ядру, где экранировка меньше. Например, основное состояние лития $2s$ ниже на 2 эВ. При увеличении n электрон удаляется от ядра и уровни энергии мало отличаются от уровней H.

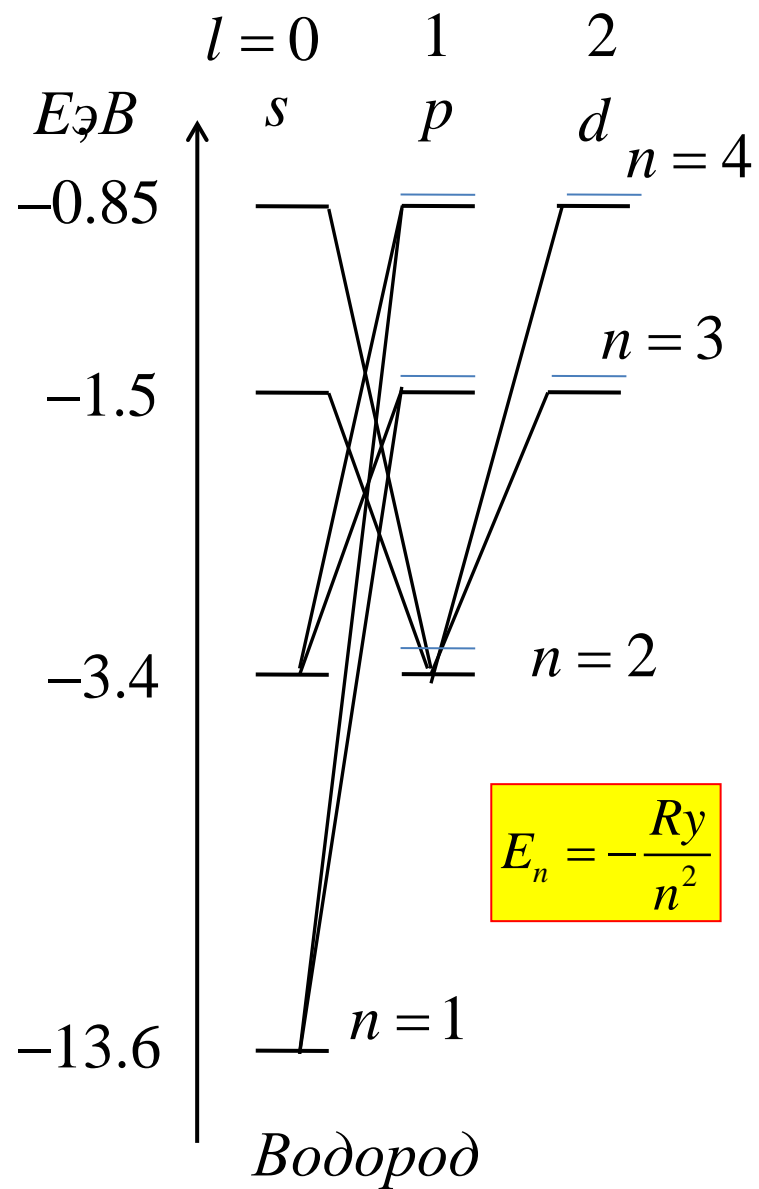
Валентный электрон, искажает распределение зарядов и электрическое поле остова. В первом приближении поле остова можно рассматривать как наложение поля точечного заряда Ze и поля точечного диполя, приводящее к изменению центробежного потенциала:

$$\frac{\hbar^2 l(l+1)}{2mr^2} - C \frac{Z_a e^2}{r^2} = \frac{\hbar^2 l^*(l^*+1)}{2mr^2}$$

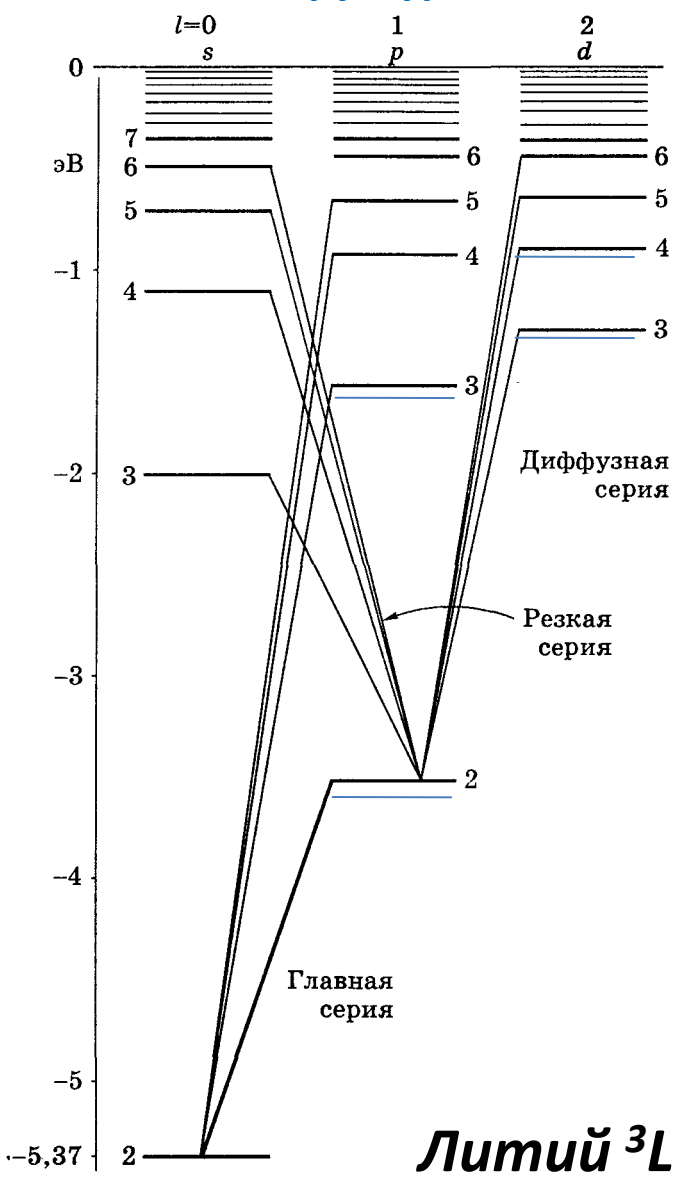
В результате, к n добавляется σ_l - Ридберговская поправка (отрицательная), зависящая от n, l . Часто эту поправку вычитают из n , и называют "квантовый дефект" (положительный).

Уровни энергии водорода, лития и натрия

Спектры водородоподобных атомов



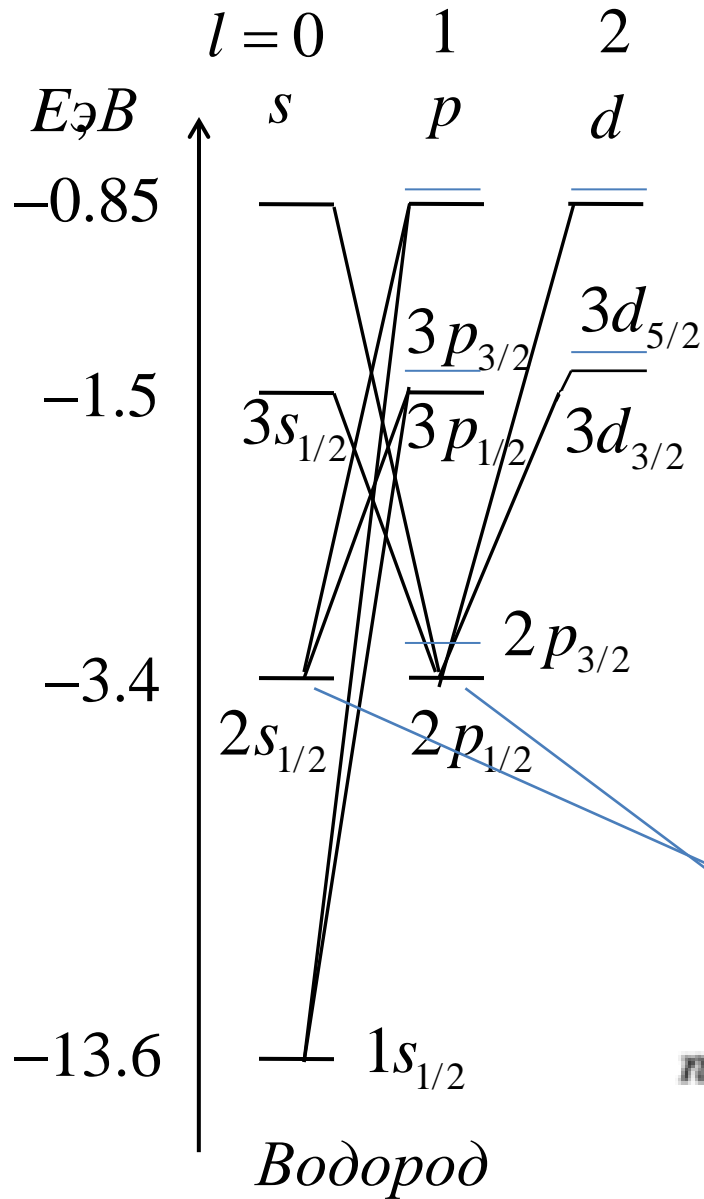
Тонкая структура линий Li



В спектрах атомов с одним оптическим электроном наблюдаются спектральные серии и тонкое расщепление линий, аналогичные наблюдаемым в спектрах атома водорода.

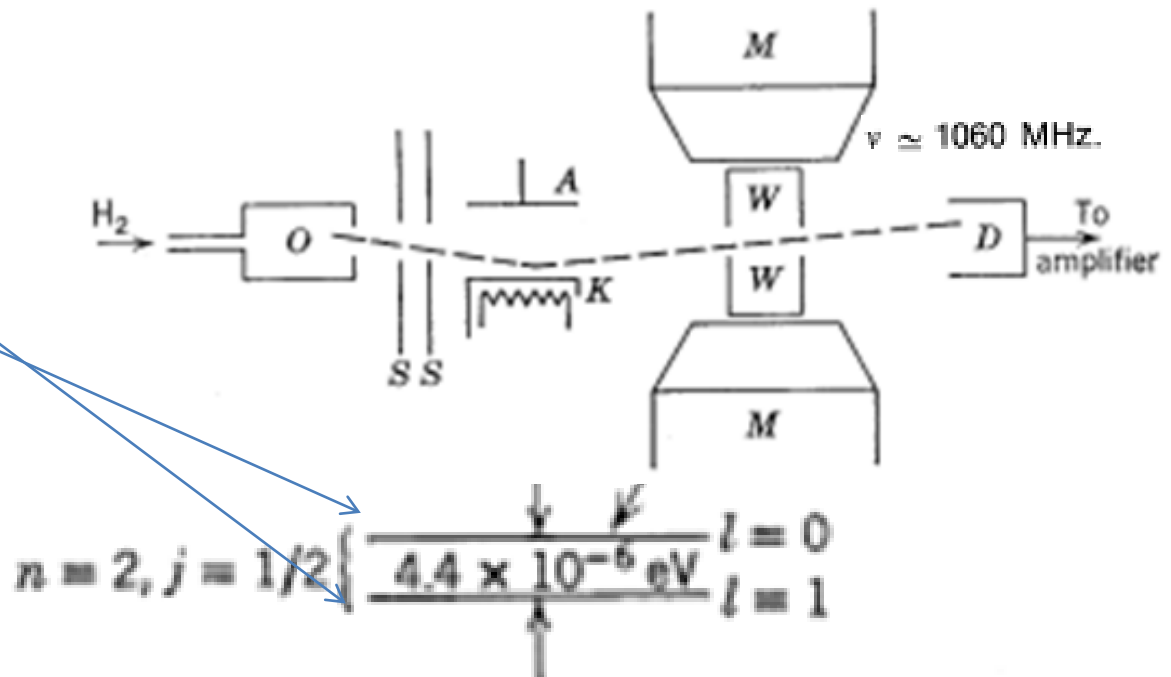
$$E_{nl} = -\frac{Ry}{(n + \sigma_l)^2}$$

Лэмбовский сдвиг



$$E = -\frac{\mu e^4}{(4\pi\epsilon_0)^2 2\hbar^2 n^2} \left[1 + \frac{\alpha^2}{n} \left(\frac{1}{j + 1/2} - \frac{3}{4n} \right) \right]$$

По формуле Дирака уровни с одинаковыми n, j совпадают: $E_{2s_{1/2}} = E_{2p_{1/2}}$. За счет взаимодействия с фотонным вакуумом, электрон хаотически отклоняется то в одну, то в другую сторону от ядра, что изменяет его энергию. Т.к. s -электрон в среднем находится в более сильном поле, для него это изменение больше, чем для p -электрона.



Уиллис Лэмб и Роберт Ризерфорд (1947)